



NATA LIGHTING CO.,LTD.
www.nata.cn
Email:info@nata.com
Tel:+86-750-3770000 Fax:+86 750 3771111
Address:380JinOu Road,GaoXin Zone,Jiang Men City,Guangdong,China

Nata

Client: NT

LumCAT: 2-2882-L2 & 92.70.398.00

Luminaire: 92.70.411.00LED HOLDER

Report No: 20250112-B003

Ballast type: AC

Test No: 20250112-C003

Voltage(V): 36.700

LampCAT: LUMILEDS 1208 LES15

Current(A): 0.898

Lamp flux(lm): 4068.0

Power (W): 32.950

Number of Lamps: 1

PF: 0.000

Length(mm): 75

Width(mm): 75

Phm Type: C

Height(mm): 52

Photometric Results

Lumens(lm): 3690.34, Efficiency(%): 90.72% , Luminous Efficacy(lm/W): 112.00

Central intensity(cd): 12166.220, Maximum intensity(cd): 12166.220

Angle of maximum intensity: C=0.0 γ =0.0

Beam Angle(50%Imax): [C0/180]Total=26.6

[C90/270]Total=26.6

Field angle(10%Imax): [C0/180]Total=57.4

[C90/270]Total=57.4

Maximum s/h(1/2): C0_180=0.44 C90_270=0.44

Maximum s/h(1/4): C0_180=0.48 C90_270=0.48

Up flux rate of lamp(%): 0.00%

Down flux rate of lamp(%): 90.72%

Up flux rate of LUM(%): - -

Down flux rate of LUM(%): 100.00%

CIE Type : Direct lighting

Output flux ratio in π solid angle : 99.139%

$\gamma(^{\circ})$	Average I(cd)	Zonal F(lm)	Sum F(lm)	Eff Flux(%)	Eff Sum(%)
0.0	12166.221	0.000	0	0.00%	0.00%
1.0	12056.353	11.590	11.59	0.28%	0.31%
2.0	11942.765	34.446	46.036	0.85%	1.25%
3.0	11665.958	56.464	102.5	1.39%	2.78%
4.0	11431.391	77.314	179.814	1.90%	4.87%
5.0	10864.688	95.917	275.731	2.36%	7.47%
6.0	10532.763	112.449	388.18	2.76%	10.52%
7.0	9946.428	127.114	515.294	3.12%	13.96%
8.0	9363.549	138.198	653.492	3.40%	17.71%
9.0	8729.297	146.633	800.125	3.60%	21.68%
10.0	8108.055	152.372	952.497	3.75%	25.81%
11.0	7453.389	155.491	1107.987	3.82%	30.02%
12.0	6860.497	156.471	1264.459	3.85%	34.26%
13.0	6231.186	155.365	1419.824	3.82%	38.47%
14.0	5678.406	152.442	1572.266	3.75%	42.60%
15.0	5163.241	148.839	1721.105	3.66%	46.64%
16.0	4667.300	144.045	1865.15	3.54%	50.54%
17.0	4276.104	139.273	2004.422	3.42%	54.32%
18.0	3883.088	134.527	2138.95	3.31%	57.96%
19.0	3505.892	128.553	2267.503	3.16%	61.44%
20.0	3208.441	122.891	2390.394	3.02%	64.77%
21.0	2959.380	118.435	2508.829	2.91%	67.98%
22.0	2648.355	112.690	2621.518	2.77%	71.04%
23.0	2409.820	106.134	2727.652	2.61%	73.91%
24.0	2140.674	99.490	2827.143	2.45%	76.61%
25.0	1963.912	93.329	2920.472	2.29%	79.14%
26.0	1752.782	87.733	3008.205	2.16%	81.52%
27.0	1515.114	79.950	3088.155	1.97%	83.68%
28.0	1326.395	71.941	3160.096	1.77%	85.63%
29.0	1169.529	65.300	3225.396	1.61%	87.40%
30.0	989.476	58.293	3283.689	1.43%	88.98%
31.0	860.231	51.475	3335.163	1.27%	90.38%
32.0	733.359	45.654	3380.818	1.12%	91.61%
33.0	608.720	39.538	3420.356	0.97%	92.68%
34.0	504.088	33.677	3454.033	0.83%	93.60%
35.0	412.215	28.457	3482.49	0.70%	94.37%
36.0	347.399	24.186	3506.676	0.59%	95.02%
37.0	293.305	20.896	3527.572	0.51%	95.59%

$\gamma(^{\circ})$	Average I(cd)	Zonal F(lm)	Sum F(lm)	Eff Flux(%)	Eff Sum(%)
38.0	228.601	17.421	3544.993	0.43%	96.06%
39.0	176.242	13.818	3558.811	0.34%	96.44%
40.0	153.266	11.492	3570.303	0.28%	96.75%
41.0	118.647	9.683	3579.986	0.24%	97.01%
42.0	100.861	7.975	3587.961	0.20%	97.23%
43.0	86.097	6.925	3594.886	0.17%	97.41%
44.0	76.268	6.128	3601.015	0.15%	97.58%
45.0	67.681	5.532	3606.547	0.14%	97.73%
46.0	61.853	5.066	3611.613	0.12%	97.87%
47.0	56.130	4.692	3616.305	0.12%	97.99%
48.0	51.071	4.334	3620.639	0.11%	98.11%
49.0	47.589	4.052	3624.69	0.10%	98.22%
50.0	44.100	3.823	3628.513	0.09%	98.32%
51.0	41.137	3.606	3632.119	0.09%	98.42%
52.0	38.640	3.423	3635.542	0.08%	98.52%
53.0	36.577	3.272	3638.814	0.08%	98.60%
54.0	34.560	3.135	3641.95	0.08%	98.69%
55.0	32.904	3.011	3644.961	0.07%	98.77%
56.0	31.544	2.912	3647.874	0.07%	98.85%
57.0	30.151	2.821	3650.694	0.07%	98.93%
58.0	28.660	2.720	3653.414	0.07%	99.00%
59.0	27.333	2.618	3656.032	0.06%	99.07%
60.0	25.900	2.515	3658.547	0.06%	99.14%
61.0	24.566	2.408	3660.955	0.06%	99.20%
62.0	23.121	2.298	3663.253	0.06%	99.27%
63.0	21.735	2.182	3665.434	0.05%	99.33%
64.0	20.440	2.070	3667.504	0.05%	99.38%
65.0	19.152	1.959	3669.463	0.05%	99.43%
66.0	17.812	1.844	3671.308	0.05%	99.48%
67.0	16.682	1.734	3673.042	0.04%	99.53%
68.0	15.460	1.628	3674.67	0.04%	99.58%
69.0	14.251	1.516	3676.186	0.04%	99.62%
70.0	13.285	1.414	3677.6	0.03%	99.65%
71.0	12.234	1.319	3678.919	0.03%	99.69%
72.0	11.216	1.219	3680.138	0.03%	99.72%
73.0	10.302	1.125	3681.264	0.03%	99.75%
74.0	9.396	1.036	3682.299	0.03%	99.78%
75.0	8.607	0.951	3683.25	0.02%	99.81%

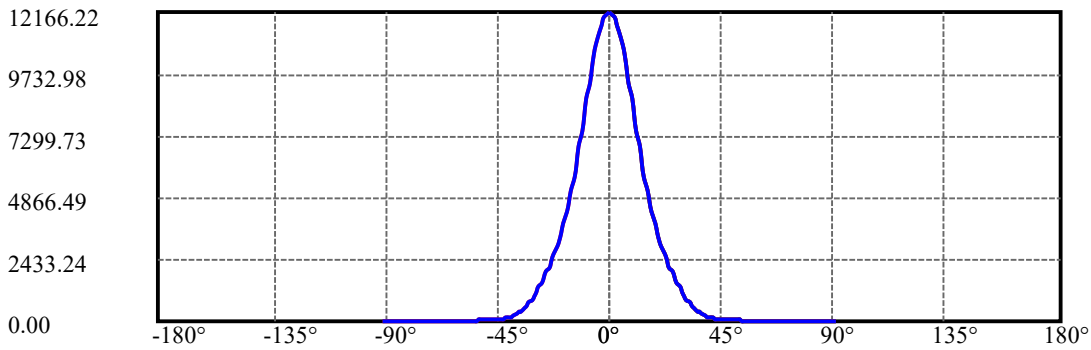
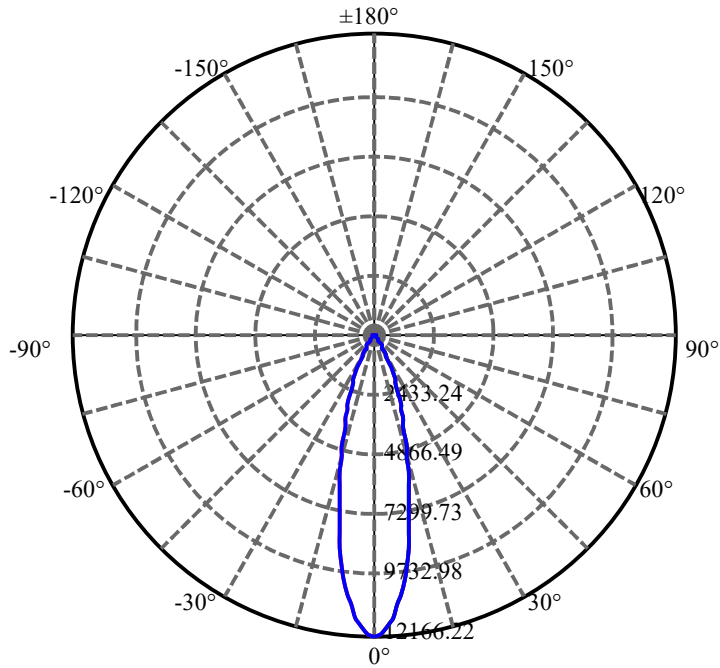
$\gamma(^{\circ})$	Average I(cd)	Zonal F(lm)	Sum F(lm)	Eff Flux(%)	Eff Sum(%)
76.0	7.786	0.870	3684.121	0.02%	99.83%
77.0	7.109	0.794	3684.915	0.02%	99.85%
78.0	6.491	0.728	3685.643	0.02%	99.87%
79.0	5.907	0.666	3686.309	0.02%	99.89%
80.0	5.342	0.606	3686.915	0.01%	99.91%
81.0	4.777	0.547	3687.463	0.01%	99.92%
82.0	4.304	0.492	3687.955	0.01%	99.94%
83.0	3.811	0.441	3688.396	0.01%	99.95%
84.0	3.364	0.391	3688.787	0.01%	99.96%
85.0	2.976	0.346	3689.133	0.01%	99.97%
86.0	2.622	0.306	3689.439	0.01%	99.98%
87.0	2.273	0.268	3689.707	0.01%	99.98%
88.0	1.997	0.234	3689.941	0.01%	99.99%
89.0	1.781	0.207	3690.148	0.01%	99.99%
90.0	1.636	0.187	3690.335	0.00%	100.00%

ZONAL LUMEN SUMMARY

Zone	Lumens	%Lamp	%Fixt
0-30	3283.69	80.72%	88.98%
0-40	3570.30	87.77%	96.75%
0-60	3658.55	89.93%	99.14%
0-90	3690.15	90.71%	99.99%
0-120	3690.15	90.71%	99.99%
0-180	3690.34	90.72%	100.00%
60-90	31.60	0.78%	0.86%
90-120	0.00	0.00%	0.00%
90-130	0.00	0.00%	0.00%
90-150	0.00	0.00%	0.00%
90-180	0.00	0.00%	0.00%
0-25.36	2952.27	72.57%	80.00%

ZONAL LUMEN SUMMARY

0-10	952.50
10-20	1437.90
20-30	893.29
30-40	286.61
40-50	58.21
50-60	30.03
60-70	19.05
70-80	9.32
80-90	3.23
90-100	0.00
100-110	0.00
110-120	0.00
120-130	0.00
130-140	0.00
140-150	0.00
150-160	0.00
160-170	0.00
170-180	0.00



C0(Max): —————

C0/C180: —————

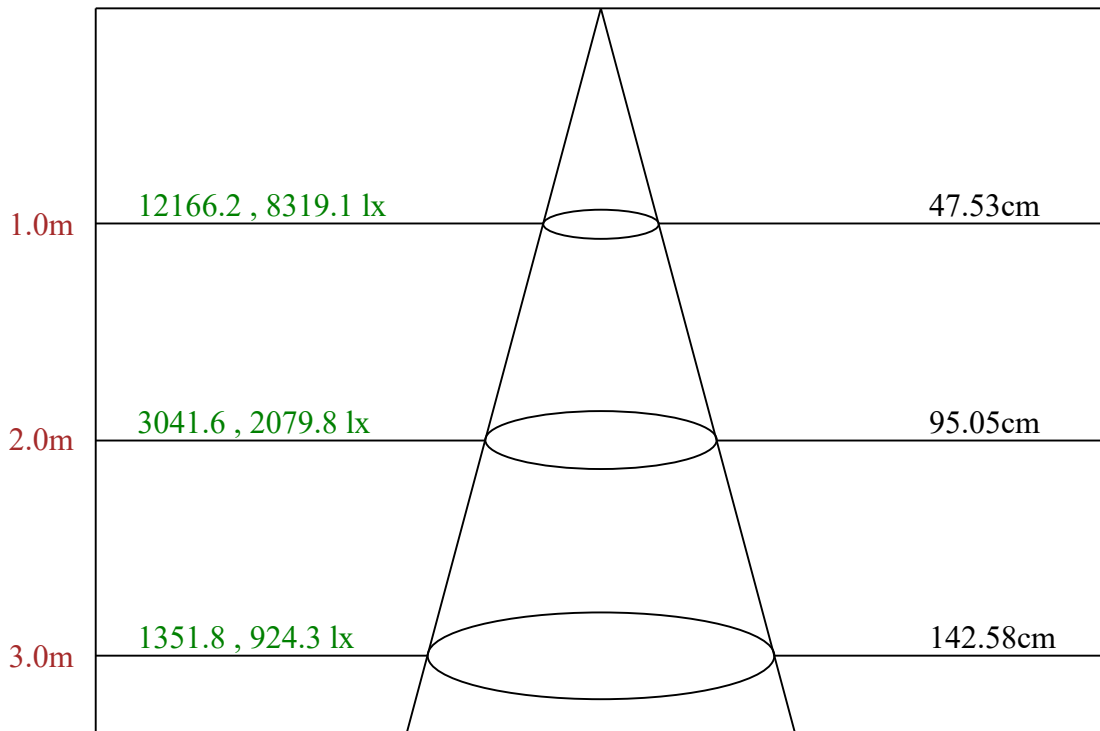
C90/C270: —————

Field angle(10%Imax):C0/180Left:28.7 Right:28.7

:C90/270Left:28.7 Right:28.7

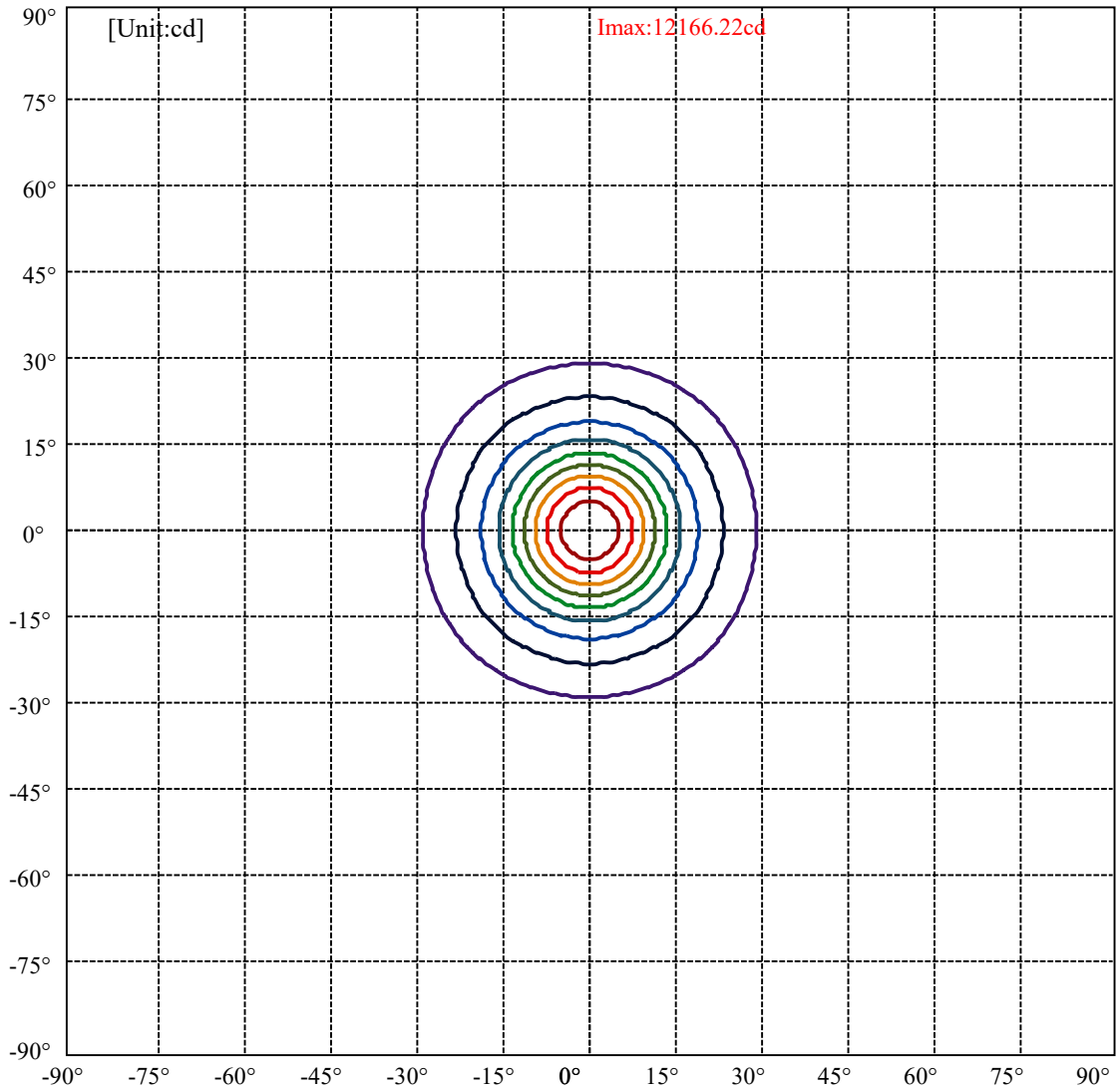
Beam Angle(50%Imax):C0/180Left:13.3 Right:13.3

:C90/270Left:13.3 Right:13.3

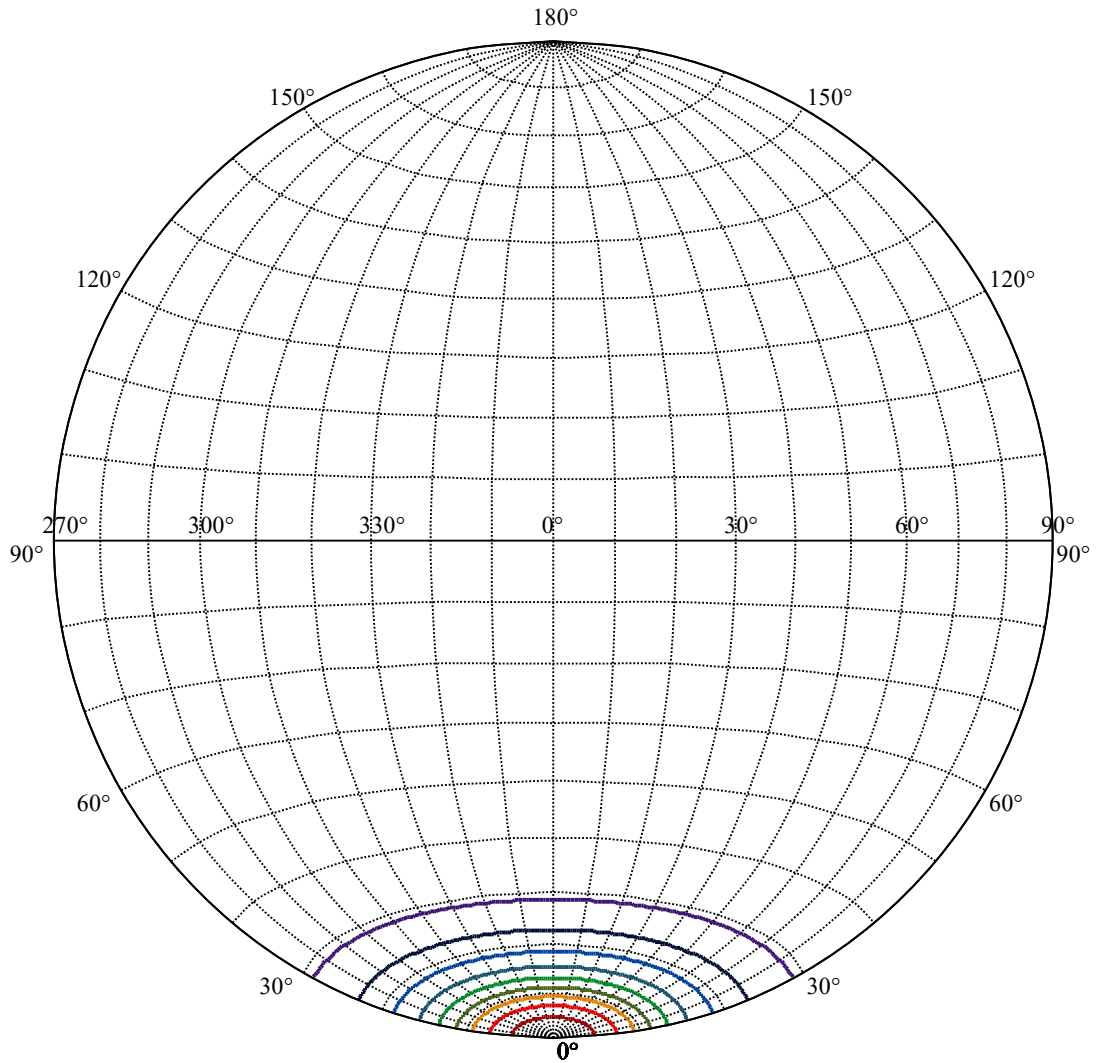


Max , Ave Beam angle of C0 plane 26.73

ISO-Intensity(V-H)



(10%Imax) 1216.62	—
(20%Imax) 2433.24	—
(30%Imax) 3649.87	—
(40%Imax) 4866.49	—
(50%Imax) 6083.11	—
(60%Imax) 7299.73	—
(70%Imax) 8516.35	—
(80%Imax) 9732.98	—
(90%Imax) 10949.6	—



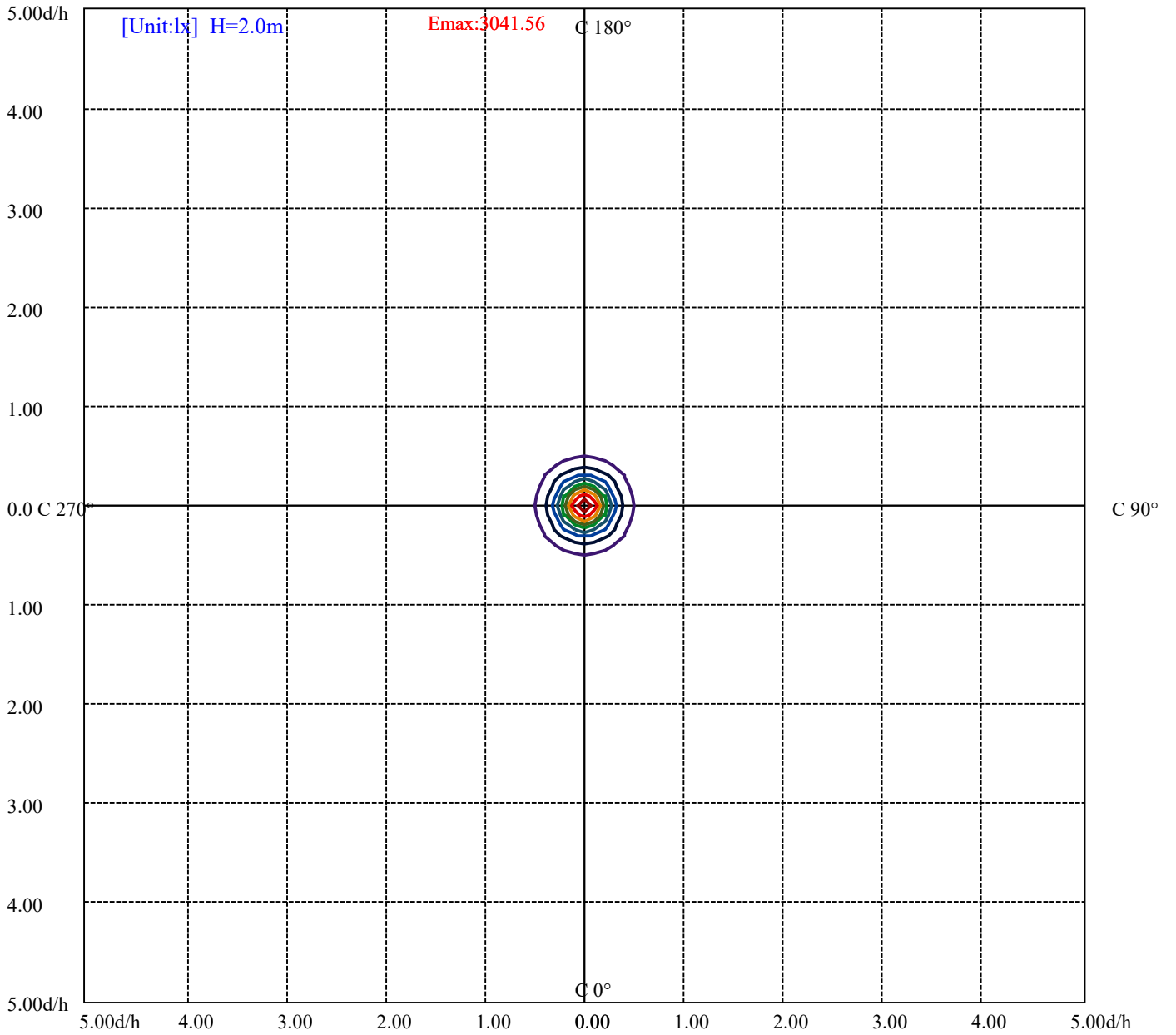
House

[Unit:cd]

Road

Imax:12166.22

(10%Imax)	1216.62	—
(20%Imax)	2433.24	—
(30%Imax)	3649.87	—
(40%Imax)	4866.49	—
(50%Imax)	6083.11	—
(60%Imax)	7299.73	—
(70%Imax)	8516.35	—
(80%Imax)	9732.98	—
(90%Imax)	10949.6	—



(10%Emax) 304.155	—
(20%Emax) 608.31	—
(30%Emax) 912.465	—
(40%Emax) 1216.62	—
(50%Emax) 1520.775	—
(60%Emax) 1824.93	—
(70%Emax) 2129.085	—
(80%Emax) 2433.24	—
(90%Emax) 2737.4	—

Luminance Limiting Curve(no luminous side)

Luminance Table

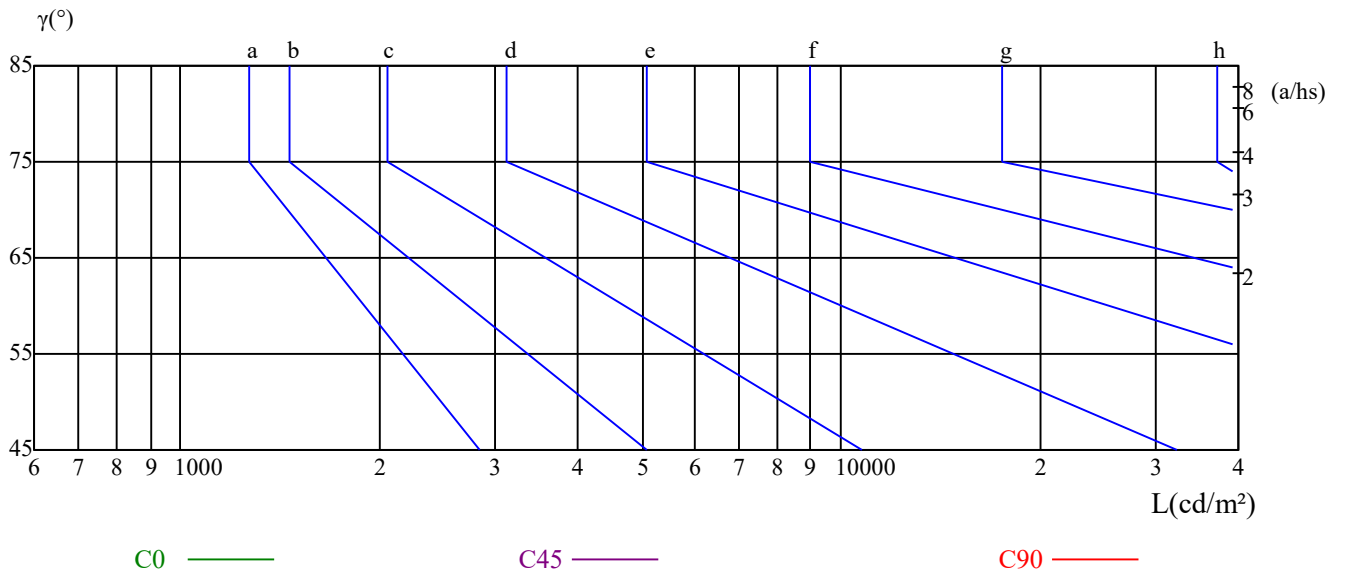
γ	45	50	55	60	65	70	75	80	85
C0	0	0	0	0	0	0	0	0	0
C45	0	0	0	0	0	0	0	0	0
C90	0	0	0	0	0	0	0	0	0

L(Hor)(65)	L(Ver)(65)	L45(65)	L(Hor)(75)	L(Ver)(75)	L45(75)	L(Hor)(85)	L(Ver)(85)	L45(85)
0	0	0	0	0	0	0	0	0

Glare Table

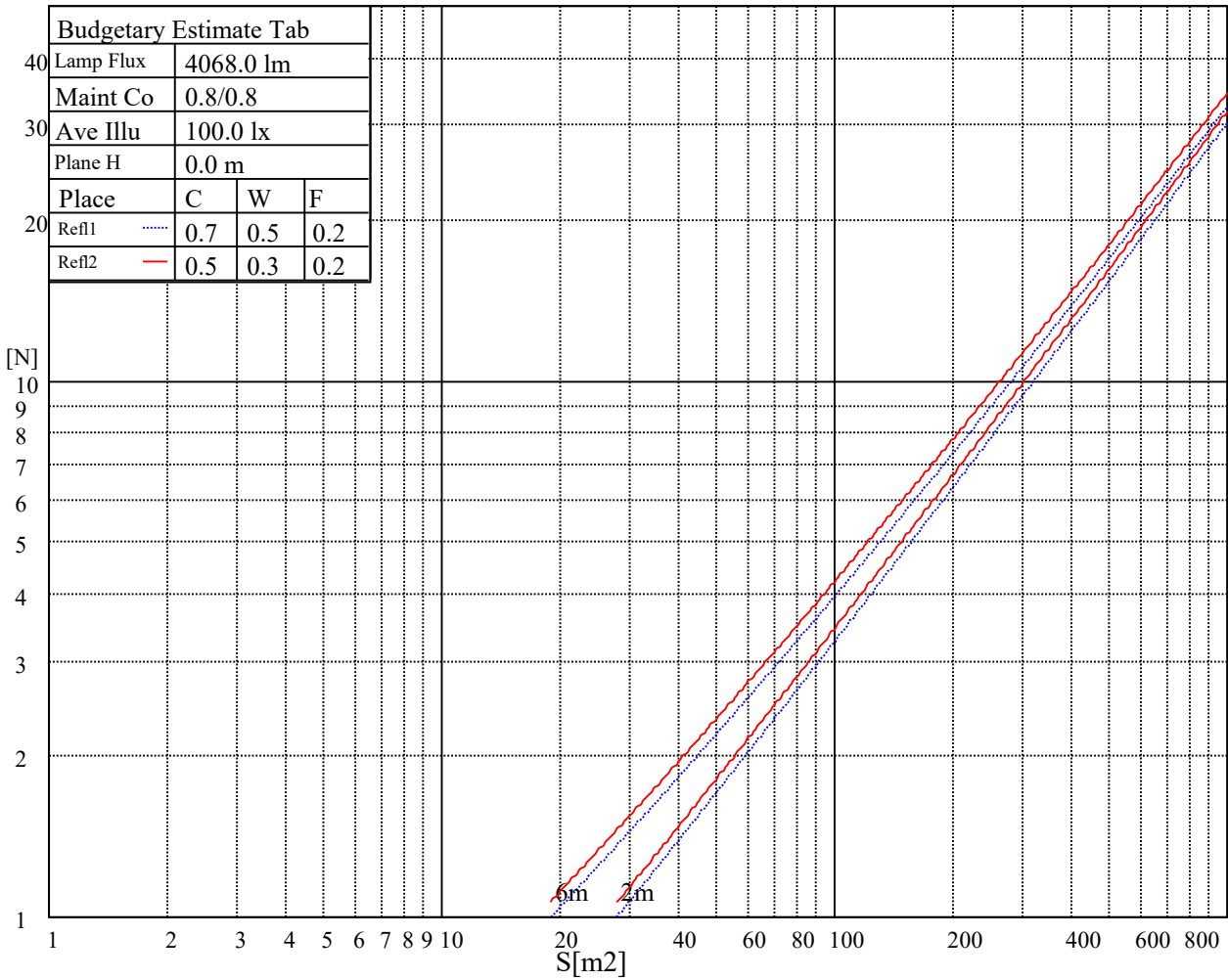
Glare	Quality	Service Values Illuminance(lx)							
1.15	A	2000	1000	500	<=300				
1.5	B		2000	1000	500	<=300			
1.85	C			2000	1000	500	<=300		
2.2	D				2000	1000	500	<=300	
2.55	E					2000	1000	500	<=300
		a	b	c	d	e	f	g	h

Luminance Limiting Curve



Illumination assessment according UGR											
Rf of Ceiling	70	70	50	50	30	70	70	50	50	30	
Rf of Wall	50	30	50	30	30	50	30	50	30	30	
Rf of Floor	20	20	20	20	20	20	20	20	20	20	
Room dimensions		Viewed crosswise					Viewed endwise				
X	Y										
2H	2H	非数字	非数字	非数字	非数字	非数字	非数字	非数字	非数字	非数字	
	3H	非数字	非数字	非数字	非数字	非数字	非数字	非数字	非数字	非数字	
	4H	非数字	非数字	非数字	非数字	非数字	非数字	非数字	非数字	非数字	
	6H	非数字	非数字	非数字	非数字	非数字	非数字	非数字	非数字	非数字	
	8H	非数字	非数字	非数字	非数字	非数字	非数字	非数字	非数字	非数字	
	12H	非数字	非数字	非数字	非数字	非数字	非数字	非数字	非数字	非数字	
4H	2H	非数字	非数字	非数字	非数字	非数字	非数字	非数字	非数字	非数字	
	3H	非数字	非数字	非数字	非数字	非数字	非数字	非数字	非数字	非数字	
	4H	非数字	非数字	非数字	非数字	非数字	非数字	非数字	非数字	非数字	
	6H	非数字	非数字	非数字	非数字	非数字	非数字	非数字	非数字	非数字	
	8H	非数字	非数字	非数字	非数字	非数字	非数字	非数字	非数字	非数字	
8H	12H	非数字	非数字	非数字	非数字	非数字	非数字	非数字	非数字	非数字	
	4H	非数字	非数字	非数字	非数字	非数字	非数字	非数字	非数字	非数字	
	6H	非数字	非数字	非数字	非数字	非数字	非数字	非数字	非数字	非数字	
	8H	非数字	非数字	非数字	非数字	非数字	非数字	非数字	非数字	非数字	
12H	12H	非数字	非数字	非数字	非数字	非数字	非数字	非数字	非数字	非数字	
	4H	非数字	非数字	非数字	非数字	非数字	非数字	非数字	非数字	非数字	
	6H	非数字	非数字	非数字	非数字	非数字	非数字	非数字	非数字	非数字	
	8H	非数字	非数字	非数字	非数字	非数字	非数字	非数字	非数字	非数字	
Variation with the observer position at spacings:											
S = 1.0H	非数字/非数字					非数字/非数字					
S = 1.5H	非数字/非数字					非数字/非数字					
S = 2.0H	非数字/非数字					非数字/非数字					
Standard tables:	BK0					BK0					
Uncorrected UGR	负无穷大					负无穷大					

UGR calculation is based on CIE Publ. 117 ,S/H = 0.25



RHOCC	80			70			50			30			10			0
RHOW	50	30	10	50	30	10	50	30	10	50	30	10	50	30	10	0
RCR	COEFFICIENTS OF UTILIZATION RHOFC=20 CU															
0	1.08	1.08	1.08	1.05	1.05	1.05	1.01	1.01	1.01	0.97	0.97	0.97	0.93	0.93	0.93	0.91
1	1.02	1.00	0.98	1.00	0.98	0.96	0.96	0.95	0.93	0.93	0.92	0.91	0.90	0.89	0.88	0.87
2	0.96	0.93	0.90	0.95	0.92	0.89	0.92	0.89	0.87	0.89	0.87	0.86	0.87	0.85	0.84	0.82
3	0.91	0.87	0.84	0.90	0.87	0.84	0.88	0.85	0.82	0.86	0.83	0.81	0.84	0.82	0.80	0.79
4	0.87	0.83	0.80	0.86	0.82	0.79	0.84	0.81	0.78	0.82	0.80	0.77	0.81	0.78	0.76	0.75
5	0.83	0.79	0.75	0.82	0.78	0.75	0.81	0.77	0.74	0.79	0.76	0.74	0.78	0.75	0.73	0.72
6	0.79	0.75	0.72	0.79	0.75	0.72	0.77	0.74	0.71	0.76	0.73	0.71	0.75	0.72	0.70	0.69
7	0.76	0.72	0.69	0.76	0.71	0.68	0.74	0.71	0.68	0.73	0.70	0.68	0.73	0.70	0.67	0.66
8	0.73	0.69	0.66	0.73	0.69	0.66	0.72	0.68	0.65	0.71	0.68	0.65	0.70	0.67	0.65	0.64
9	0.70	0.66	0.63	0.70	0.66	0.63	0.69	0.66	0.63	0.69	0.65	0.63	0.68	0.65	0.63	0.62
10	0.68	0.64	0.61	0.68	0.64	0.61	0.67	0.63	0.61	0.66	0.63	0.61	0.66	0.63	0.60	0.59

Intensity data(cd)

C/γ(°)	0.0	1.0	2.0	3.0	4.0	5.0	6.0	7.0	8.0
0.0	12160.65	12015.79	11748.35	10982.51	10982.51	10468.24	10118.91	9516.65	8835.76
45.0	12216.37	12116.08	11876.50	11414.05	11174.47	10667.45	10104.72	9480.70	8789.82
90.0	11971.21	11053.26	10958.02	10746.30	10407.53	9823.62	9172.31	8479.22	7771.58
135.0	12316.66	12093.79	11759.49	11397.34	10957.18	10466.88	10138.15	9285.69	8895.68
180.0	12160.65	12188.51	12116.08	11909.93	11642.49	11291.48	10856.89	10383.30	9826.14
225.0	12216.37	12299.94	12260.94	12121.65	11882.07	10995.92	10995.92	10459.94	9876.02
270.0	11971.21	12249.80	12416.94	12472.66	12428.09	12277.65	11948.93	11492.05	11018.47
315.0	12316.66	12433.66	12405.80	12283.23	11976.79	10926.27	10926.27	10473.87	9894.94
360.0	12160.65	12015.79	11748.35	10982.51	10982.51	10468.24	10118.91	9516.65	8835.76
C/γ(°)	9.0	10.0	11.0	12.0	13.0	14.0	15.0	16.0	17.0
0.0	8162.17	7469.60	6785.98	6165.84	5612.57	5111.70	4624.76	4199.06	3828.02
45.0	8098.94	7408.05	6750.60	6148.87	5574.99	5056.83	4572.10	4143.08	3780.93
90.0	7106.92	6468.97	5887.84	5354.07	4857.09	4405.79	4005.16	3641.90	3300.35
135.0	8199.22	7502.77	6828.60	6215.73	5647.42	5112.54	4627.81	4198.80	3819.93
180.0	9235.55	8589.24	7903.93	7357.91	6577.88	5981.72	5547.13	5034.54	4560.95
225.0	9264.82	8638.54	7976.62	7309.13	6662.30	6030.44	5457.14	4933.99	4641.48
270.0	10472.45	9859.57	9218.83	8717.39	7954.07	7419.20	6745.03	5987.29	5552.70
315.0	9294.31	8927.69	8274.70	7615.04	6963.16	6309.02	5726.79	5199.75	4724.48
360.0	8162.17	7469.60	6785.98	6165.84	5612.57	5111.70	4624.76	4199.06	3828.02
C/γ(°)	18.0	19.0	20.0	21.0	22.0	23.0	24.0	25.0	26.0
0.0	3490.36	3159.43	2869.70	2605.58	2361.00	2144.81	1922.53	1767.05	1532.51
45.0	3424.34	3112.33	2939.61	2822.61	2565.47	2143.71	1929.20	1723.05	1526.94
90.0	2986.13	2701.40	2440.11	2202.74	1983.81	1779.87	1580.97	1427.18	1071.43
135.0	3468.91	3134.62	2833.75	2833.75	2334.83	2148.18	1928.62	1723.05	1523.58
180.0	4148.65	3769.78	3407.63	3090.04	2789.18	2789.18	2296.35	2070.17	1859.56
225.0	4208.52	3679.22	3464.18	3128.20	2817.30	2539.29	2284.10	2052.88	1836.69
270.0	5040.11	4577.67	4148.65	3775.35	3424.34	3101.19	2805.89	2805.89	2750.18
315.0	4297.67	3912.70	3563.90	3216.77	2910.91	2632.33	2377.72	2142.03	1921.37
360.0	3490.36	3159.43	2869.70	2605.58	2361.00	2144.81	1922.53	1767.05	1532.51
C/γ(°)	27.0	28.0	29.0	30.0	31.0	32.0	33.0	34.0	35.0
0.0	1296.82	1108.28	1038.16	881.42	746.07	623.97	511.85	417.08	338.40
45.0	1345.28	1162.52	992.59	839.37	707.33	586.44	482.79	393.64	320.11
90.0	1071.43	911.33	766.62	636.43	519.69	419.87	337.35	268.44	212.77
135.0	1334.14	1150.28	975.88	824.92	691.20	568.04	459.97	369.15	295.61
180.0	1662.29	1470.65	1361.42	1175.35	940.76	848.83	715.11	588.65	478.90
225.0	1632.22	1440.58	1090.83	1090.83	922.42	805.20	653.19	559.79	456.14
270.0	2066.81	1854.51	1731.93	1456.72	1343.60	1159.21	987.60	834.90	703.44
315.0	1711.91	1513.01	1398.79	1010.78	1010.78	855.30	721.89	601.05	492.35
360.0	1296.82	1108.28	1038.16	881.42	746.07	623.97	511.85	417.08	338.40
C/γ(°)	36.0	37.0	38.0	39.0	40.0	41.0	42.0	43.0	44.0
0.0	273.90	221.50	180.08	147.54	123.00	104.91	96.50	81.68	76.58
45.0	307.28	307.28	188.02	154.69	129.25	108.75	92.09	79.74	70.64
90.0	170.04	137.14	112.43	94.24	85.94	71.80	66.96	60.08	52.93
135.0	295.61	282.21	164.00	122.89	110.01	93.09	80.89	71.22	63.50
180.0	383.60	306.18	306.18	184.97	148.12	120.47	99.76	85.05	78.27
225.0	367.73	295.98	238.48	193.06	156.95	129.04	108.02	92.14	81.00
270.0	583.08	476.69	383.60	306.75	306.75	185.70	149.65	122.10	101.71
315.0	397.95	319.47	256.03	205.78	166.10	135.40	113.01	96.77	85.52
360.0	273.90	221.50	180.08	147.54	123.00	104.91	96.50	81.68	76.58

Intensity data(cd)

C/γ(°)	45.0	46.0	47.0	48.0	49.0	50.0	51.0	52.0	53.0
0.0	69.01	62.76	57.50	52.98	49.09	45.78	42.89	40.42	38.27
45.0	63.50	57.14	52.09	47.67	44.15	41.10	38.21	36.16	34.01
90.0	50.25	46.41	43.10	40.42	38.06	35.95	34.48	33.01	31.59
135.0	57.29	52.25	48.04	44.26	41.10	38.48	36.27	34.48	33.11
180.0	66.02	59.50	55.93	50.99	46.73	42.79	39.63	37.06	34.74
225.0	71.70	64.23	57.66	52.30	47.94	44.26	41.26	38.69	37.37
270.0	86.94	80.21	71.22	61.50	57.98	52.93	48.57	44.63	41.42
315.0	76.74	72.33	63.50	58.45	55.66	51.51	47.78	44.68	42.10
360.0	69.01	62.76	57.50	52.98	49.09	45.78	42.89	40.42	38.27
C/γ(°)	54.0	55.0	56.0	57.0	58.0	59.0	60.0	61.0	62.0
0.0	36.32	34.53	32.90	31.27	29.75	28.02	26.23	24.60	23.13
45.0	32.75	31.43	30.12	28.91	27.12	25.70	24.34	23.18	21.92
90.0	30.38	29.17	27.86	26.39	24.76	23.34	21.92	20.55	19.08
135.0	31.85	30.70	29.70	28.65	27.49	26.49	24.70	23.65	22.50
180.0	32.64	31.22	29.96	28.65	27.23	26.18	25.18	23.86	22.44
225.0	33.96	31.91	31.22	29.96	28.49	27.12	25.97	24.65	22.97
270.0	38.90	36.53	34.64	33.01	31.54	30.28	28.86	27.54	26.28
315.0	39.68	37.74	35.95	34.38	32.90	31.54	30.01	28.49	26.65
360.0	36.32	34.53	32.90	31.27	29.75	28.02	26.23	24.60	23.13
C/γ(°)	63.0	64.0	65.0	66.0	67.0	68.0	69.0	70.0	71.0
0.0	21.81	20.03	18.76	17.61	16.24	14.93	13.82	12.67	11.67
45.0	20.66	19.61	18.45	16.98	15.51	14.30	13.30	12.14	11.09
90.0	17.87	16.93	15.24	14.24	13.19	12.19	11.14	10.09	9.25
135.0	20.76	19.71	18.55	17.24	16.03	14.82	13.67	12.62	11.46
180.0	21.24	19.97	19.19	17.50	16.45	15.82	14.35	13.77	12.83
225.0	21.66	20.45	19.19	17.98	16.77	15.72	14.72	13.56	12.51
270.0	24.81	23.23	21.81	20.45	19.55	18.13	16.61	15.82	14.77
315.0	25.07	23.60	22.02	20.50	19.71	17.77	16.40	15.61	14.30
360.0	21.81	20.03	18.76	17.61	16.24	14.93	13.82	12.67	11.67
C/γ(°)	72.0	73.0	74.0	75.0	76.0	77.0	78.0	79.0	80.0
0.0	10.67	9.78	8.88	8.04	7.31	6.68	6.10	5.52	4.89
45.0	10.14	9.57	8.36	7.83	6.99	6.36	5.78	5.20	4.68
90.0	8.46	7.62	6.83	6.20	5.73	5.10	4.63	4.10	3.68
135.0	10.35	9.36	8.52	7.62	6.89	6.25	5.68	5.10	4.73
180.0	11.83	10.99	10.09	9.25	8.52	7.78	7.10	6.47	5.83
225.0	11.56	10.57	10.09	9.36	8.25	7.78	7.15	6.62	5.94
270.0	13.61	12.62	11.62	10.67	9.67	8.83	8.09	7.52	6.89
315.0	13.09	11.93	10.78	9.88	8.94	8.09	7.41	6.73	6.10
360.0	10.67	9.78	8.88	8.04	7.31	6.68	6.10	5.52	4.89
C/γ(°)	81.0	82.0	83.0	84.0	85.0	86.0	87.0	88.0	89.0
0.0	4.47	4.05	3.57	3.15	2.84	2.47	2.21	2.00	1.68
45.0	4.15	3.57	3.10	2.79	2.37	2.05	1.68	1.42	1.31
90.0	3.26	2.89	2.63	2.21	1.94	1.79	1.37	1.31	1.31
135.0	3.94	3.57	3.21	2.79	2.37	2.10	1.79	1.52	1.21
180.0	5.26	4.73	4.10	3.63	3.15	2.73	2.47	2.10	1.89
225.0	5.31	4.73	4.26	3.73	3.31	2.89	2.47	2.10	1.84
270.0	6.25	5.73	5.10	4.57	4.10	3.63	3.26	2.84	2.63
315.0	5.57	5.15	4.52	4.05	3.73	3.31	2.94	2.68	2.37
360.0	4.47	4.05	3.57	3.15	2.84	2.47	2.21	2.00	1.68

Intensity data(cd)

C/ γ (°)	90.0
0.0	1.52
45.0	1.31
90.0	1.31
135.0	1.21
180.0	1.52
225.0	1.68
270.0	2.26
315.0	2.26
360.0	1.52